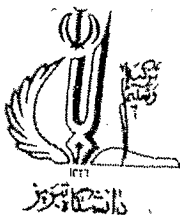


سَلَامٌ

May 1978 A

٩٧١٢٣



دانشگاه تبریز

دانشکده علوم انسانی و اجتماعی

گروه جغرافیای طبیعی

رساله

برای دریافت درجه دکتری (Ph.D) رشته جغرافیای طبیعی

گرایش ژئومورفولوژی

عنوان

پژوهشی در عوامل مؤثر در ناپایداری دامنه‌ای با استفاده از

فناوری GIS

مطالعه موردی دامنه‌های حوضه مرک (کرمانشاه)

استادان راهنما

دکتر مقصود خیام و دکتر محمد حسین رضایی مقدم

استادان مشاور

دکتر شهرام روستایی و دکتر علی اکبر رسولی

پژوهشگر

محمد احمدی

سال ۱۳۸۵

۹۷۸۴

۱۳۸۷ / ۲ / ۲۱

نام خانوادگی دانشجو: احمدی	نام: محمد
عنوان رساله: پژوهشی در عوامل موثر در ناپایداری دامنه ای با استفاده از فناوری GIS	مطالعه موردی حوضه مرک(کرمانشاه)
استادان راهنمای: دکتر مقصود خیام و محمدحسین رضایی مقدم	
استادان مشاور: دکتر علی اکبر رسولی و دکتر شهرام روستایی	
قطع تحصیلی: دکترا تخصصی رشته: جغرافیای طبیعی گرایش: زئومورفولوژی دانشگاه: تبریز	دانشکده: علوم انسانی و اجتماعی تاریخ فارغ التحصیلی: دی ماه ۱۳۸۵ تعداد صفحات: ۲۵۸
کلید واژه: عوامل مؤثر در ناپایداری دامنه ای، سیستم اطلاعات جغرافیایی، شواهد و زنی، کرمانشاه، مرک	
<p>چکیده:</p> <p>در جوامع امروزی مردم و سازمانها بطور فزاینده ای به پیش بینی و پیشگویی اعتماد می کنند. سیستم ها پیچیده و پیچیده تر می شود. شبکه های ملی و بین المللی بر اساس دانش و تجربه ایجاد می شود. در همایش ها و نشست ها معمولاً در مورد اهداف، الیت ها بحث و تبادل نظر می شود، و منابع لازم برای آنها اختصاص می یابد. جبران خطرات و تهدیدات پدیده های طبیعی در دنیای امروزی معمولاً با آهنگ کننده صورت می گیرد. و معمولاً برنامه ریزان و مدیران محیطی آنگاه به مسائل توجه دارند، که خطرات متوجه جان و مال مردم شده باشد. تهدیدات و قابلیت تهدید پدیده های طبیعی کمتر جدی انگاشته می شود. امنیت غذایی، مالی مناطق اصلی و مناطق حاشیه ای که به نوعی ارتباطی با مناطق ناپایدار دارند.</p> <p>ناپایداری دامنه ای در منطقه مرک پدیده ای جدیدی نیست. این پدیده به استناد شواهد و آثار موجود در گذشته دور نیز حادث شده است. پهنه لغزشی لعل آباد با دامنه های گسیخته شده بی نظمی در پارامترهای مورفومتریک شاهدی بر این مدعاست. قابلیت ناپایداری زیاد دامنه ها در این منطقه با اضافه شدن عوامل تحریک کننده بارندگی غیر معمول و حوادث زمین لرزه ای، افزایش خواهد یافت. لازم به توضیح است، که به سبب شرایط نیمه خشک در منطقه و خشکی محیط، فراوانی وقوع ناپایداری بویژه زمین لغزش، با محیط های مرطوب و نیمه مرطوب تفاوت اساسی دارد. بهر حال وقوع زمین لغزش در این منطقه، تحت شرایط خاص اتفاق می افتد. در</p>	

این پژوهش، مدل احتمالاتی بی سین به منظور بررسی استعداد ناپایداری دامنه ها با استفاده فن آوری GIS یه کار گرفته شده است. فهرست ناپایداری ها،(ممیزی و تعداد ناپایداری منطقه) به همراه سایر متابع داده ای مانند توپوگرافی، لیتلولوژی، خط واره ها و پوشش گیاهی بررسی گردیده است. و در نهایت از روش بی سین برای محاسبه میزان تأثیر عوامل مختلف در ناپایداری ها استفاده گردیده است. عواملی از جمله درجه شیب، جهت دامنه ها، انحناء، انتخاع پلانو انحناء ارتفاعی از مدل رقومی ارتفاعی استخراج گردیده اند. ضمناً نقشه بهrorی از زمین نیز از تصویر ماهواره ای بدست آمده است. داده های لیتلولوژی از سازند های زمین شناسی و خط واره ها از تصویر ماهواره ای پانکروماتیک حاصل شده است. در نهایت بانک داده های اطلاعات مکانی مربوط به لایه های فوق ایجاد گردید و تمام داده ها در محیط سیستم اطلاعات جغرافیایی به فرمت رستری تبدیل شدند. آزمون عدم وابستگی مشروط برای فاکتورها اجراء و ۴۳ ترکیب از عوامل مختلف بدست آمد. مدل درجه شیب، جهت شیب، سنگ شناسی، فاصله از آبراهه و گسل ها، انحناء و انحنای پلان به جهت اینکه تعداد بیشتری ناپایداری را پیش بینی می نمود برای ایجاد نقشه قابلیت ناپایداری استفاده شده است. برای تحلیل نقشه قابلیت ناپایداری مقادیر کتراست(تباین)، وزن مثبت و وزن منفی هر عامل در مدل نهایی اعمال گردید. اعتبار نتایج تحلیل با استقاده از موضعیت زمین لغزش های پیشین و جدید تأیید گردید.

بام خداوندیه عزمه مربان

پاس و حمد پکران خدای بزرگ و دلما که بنده تحریر را توفیق علا فرمودم تاین تحقیق حاضر به انجام برسد. بی کافان اگر لطف و بدایت خداوند بزرگ و دلما آسمانها و زمین نباشد، یعنی امری محقق نی شود. تقدیر و تکر از بندگان خدا در راستای پاپکاری از خداوند است. به این سبب از تمام کسانی که بنده را در انجام این پژوهش یاری نموده پاپکاری می شود. از اساتید موزرگرده بخرازی طیینی دالخواه تبریز بویژه اساتید محترم و کرامی آقایان دکتر تضود نیام و دکتر محمد حسین رضایی مقدم در بدایت و راهنمای این رساله صیغه بنده را یاری نموده بی همایت قدر دلی می شود. یعنی از اساتید محترم مشاور آقایان دکتر سرایم روستایی و علی اکبر رسول یزد پاپکاری می شود. سازمان جاده اساتید را شاه مرکز تحقیقات کشاورزی و منابع طبیعی کشاورزی سازمان فضایی امرکز سپاه از دونگل کشور و سازمان زمین شناسی کشور قدر دلی می شود.

تقدیم به :

پر و مادر صبور و گرامیم بـ خاطر محبت بـ دین و تلاش بـ نظریـشان

و بـ همـسرم و دو فرزندم کـ تـحـل و بـ بـبارـیـشـان کـ نـظرـاتـ.

فهرست مطالب

۱.....	فصل اول.....
۱.....	کلیات و تعاریف.....
۲.....	۱-۱- مقدمه.....
۳.....	۱-۲- تعریف موضوع.....
۴.....	۱-۳- تعریف مساله.....
۵.....	۱-۴- اهمیت موضوع و ضرورت تحقیق.....
۶.....	۱-۵- اهداف.....
۷.....	۱-۷- فرضیه.....
۷.....	۱-۸- متغیر های مورد استفاده در تحقیق.....
۷.....	۱-۸-۱- تعریف مفاهیم و متغیرها.....
۱۱.....	فصل دوم :.....
۱۱.....	پیشینه تحقیق.....
۱۱.....	و مواد روشها.....
۱۲.....	۲- پیشینه تحقیق.....
۲۲.....	۲-۱- مواد و روش ها.....
۲۶.....	فصل سوم
۲۶.....	ویژگی های عمومی و توپوگرافی منطقه.....
۲۷.....	کلیات.....
۲۷.....	۳- معرفی منطقه مورد تحقیق.....
۲۹.....	۳-۱- جایگاه منطقه ای.....
۳۱.....	۳-۲- ویژگی های توپوگرافی.....

۳۲.....	۱-۲-۳- تقارن دامنه ای دره مرک
۳۷.....	ادامه شکل (۳-۴)، نیمرخ توپوگرافی مسیر شماره ۲
۳۷.....	ادامه شکل (۴-۳)، نیمرخ توپوگرافی مسیر شماره ۳
۳۸.....	ادامه شکل (۴-۳)، نیمرخ توپوگرافی مسیر شماره ۵
۳۸.....	ادامه شکل (۴-۳)، نیمرخ توپوگرافی مسیر شماره ۷
۳۹.....	ادامه شکل (۴-۳)، نیمرخ توپوگرافی مسیر شماره ۹
۴۱.....	۲-۲-۳- تفسیر نیمرخ های توپوگرافی
۴۳.....	۳-۳- رابطه شبیه توپوگرافی و مساحت
۴۶.....	۴-۳- تحلیل شکل دامنه ها بر اساس انحصاری سلول های مدل رسترنی
۴۹.....	۱-۴-۳- تغییرات شبیه دامنه ها
۵۰.....	۲-۴-۳- تحلیل مورفومتری عوارض دامنه های رو به شمال کوه نسار بر مبنای مدل رسترنی
۵۷.....	۳-۴-۳- تحلیل شکل دامنه های رو به جنوب کوه سفید بر مبنای مدل رسترنی :
۶۱.....	۴-۴-۳- تحلیل مورفومتری عوارض تپه ماہوری جنوب کوه سفید بر مبنای مدل رسترنی :
۶۳.....	۵-۴-۳- تحلیل شکل و حالت شبیه در واحد نسبتاً هموار ماهیدشت بر مبنای مدل رسترنی :
۶۶.....	نتیجه گیری
۶۸.....	فصل چهارم
۶۸.....	زمین شناسی و لیتولوژی
۷۹.....	۴- زمین شناسی منطقه
۷۰.....	۱-۴- ساختمان زمین شناسی دره مرک
۷۹.....	۳-۴-۳- وضعیت ساختاری دره مرک
۷۹.....	۱-۴-۳- گسل ها
۸۳.....	۲-۴-۳- عوارض مورفولوژیکی ناشی از تکتونیک
۸۵.....	۳-۴-۳- تحلیل مکانی خط واره ها
۸۸.....	۴-۴- ارزیابی مقاومت نسبی انواع لیتولوژی

۹۰	۴-۴-۴- توزیع شیب- ارتفاع بر حسب لیتولوژی.....
۹۹	۴-۴-۴- توزیع لیتولوژی - ارتفاع.....
۱۰۹	۴-۴-۴- سازند های دوران چهارم
۱۱۰	۴-۴-۴- ضریب تغییرات شیب بر حسب لیتولوژی
۱۱۶	۴-۵- پالئوكلیما ایران و منطقه
۱۱۷	۵-۴- اشکال ناهمواری و تغییرات اقلیمی.....
۱۲۵	۴-۶- کاربرد سازندهای سطحی در تفسیر ژئومورفولوژیکی.....
۱۲۶	۶-۴- رخساره قله سنگی و سنگریزه ای
۱۲۶	۶-۴- رخساره شن و سنگریزه
۱۲۷	۶-۴- رخساره رس - سنگریزه - شن
۱۲۸	۶-۴- رخساره رس - سیلت
۱۲۹	۶-۶- شواهد پالئوكلیمایی روی دامنه ها
۱۳۲	فصل پنجم:.....
۱۳۲	تحلیل ناپایداری ها
۱۳۳	۵- مقدمه
۱۳۴	۱- ۵- داده ها و شواهد تجربی
۱۳۵	۲- ۵- مسائل زمین لغزش
۱۳۸	۲- ۵- ناپایداری های دامنه ای در منطقه مورد پژوهش
۱۳۸	۱- ۵- تعریف دامنه
۱۳۸	۲- ۵- تحلیل ناپایداری
۱۳۹	۳- ۵- عناصر سازنده دامنه ها
۱۴۰	۳- ۵- شواهد زمین لغزش در گذشته
۱۴۳	۱- ۵- آشفتگی در شبکه آبراهه ای
۱۴۴	۲- ۵- ویژگی های شیب

۱۴۴	۳-۵- شکل منحنی های تراز.....
۱۴۵	۴-۵- فهرست ناپایداری ها (انواع زمین لغزش)
۱۴۶	۱-۴-۵- انواع زمین لغزش ها
۱۴۷	۱-۱-۴-۵- جریان گلی
۱۴۷	۲-۱-۴-۵- لغزش واریزه ای
۱۴۷	۳-۱-۴-۵- جریان واریزه ای:
۱۰۱	۴-۱-۴-۵- لغزش ها.....
۱۰۱	۱-۴-۱-۴-۵- زمین لغزش های چرخشی.....
۱۰۲	۱-۶-۱-۴-۵- زمین لغزش های انتقالی
۱۰۲	۵-۵- قابلیت ناپایداری دامنه ها.....
۱۰۳	۶-۵- ناپایداری ها و مدل سازی
۱۰۶	۷-۵- ایجاد پایگاه داده های مکانی
۱۶۲	۸-۵- مدل رقومی ارتفاعی منطقه.....
۱۶۳	۱-۸-۵- ارتفاع.....
۱۶۶	۱-۸-۵-۵- توپوگرافی و گرادیان شب.....
۱۷۹	۲-۸-۵- انحنای شب.....
۱۷۰	۳-۸-۵- فاصله از گسل ها
۱۷۰	۴-۸-۵- فاصله از آبراهه
۱۷۱	۸-۵- جهت دامنه ها
۱۷۳	۷-۸-۵- انحناه ها.....
۱۷۴	۹-۵-۵- اجرا مدل شواهد وزنی
۱۷۴	۱-۹-۵- پارامتر های اولیه مدل
۱۷۶	۲-۹-۵- محاسبه شواهد وزنی (وزن عوامل)

۱۷۸	۳-۹-۵- اصول شواهد وزنی.....
۲۰۰	۱۰-۵- ترکیب لایه ها و تهیه نقشه قابلیت زمین لغزش.....
۲۰۱	۱-۱۰-۵- آزمون استقلال مشروط
۲۰۴	۱۱-۵- ارزیابی توانایی مدل در تشخیص عوامل مؤثر و قابلیت ناپایداری.....
۲۱۲	۱۲-۵- تشخیص مناطق زمین لغزشی با استفاده از تحلیل نقشه توپوگرافی
۲۱۴	۱-۱۲-۵- روش ناپارامتریک.....
۲۱۵	۲-۱۱-۵- پهنه زمین لغزشی گذشته و توزیع کای اسکور
۲۲۴	۱۲-۵- تحلیل مکانی رابطه گسلها و زمین لرزه ها با ناپایداری دامنه ای
۲۲۶	۱-۱۲-۵- فعالیت گسلها در ارتباط با زمین لرزه ها و ناپایداری.....
۲۳۶	فصل ششم
۲۳۶	نتیجه گیری و پیشنهادات.....
۲۳۷	۶- بحث و نتیجه گیری

فهرست اشکال

- ۲۹ شکل (۳-۱)، موقعیت منطقه مورد پژوهش در ایران و کرمانشاه.
- ۳۱ شکل (۳-۲)، نمای از ناهمواری‌های استان کرمانشاه و موقعیت دره ماهیدشت-مرک.
- ۳۶ شکل (۳-۳)، مسیر ترسیم نیمرخ توپوگرافی،
- ۳۶ شکل (۳-۴)، نیمرخ توپوگرافی مسیر شماره ۱
- ۳۷ ادامه شکل (۳-۴)، نیمرخ توپوگرافی مسیر شماره ۲
- ۳۷ ادامه شکل (۳-۴)، نیمرخ توپوگرافی مسیر شماره ۳
- ۳۷ ادامه شکل (۳-۴)، نیمرخ توپوگرافی مسیر شماره ۴
- ۳۸ ادامه شکل (۳-۴)، نیمرخ توپوگرافی مسیر شماره ۵
- ۳۸ ادامه شکل (۳-۴)، نیمرخ توپوگرافی مسیر شماره ۶
- ۳۸ ادامه شکل (۳-۴)، نیمرخ توپوگرافی مسیر شماره ۷
- ۳۹ ادامه شکل (۳-۴)، نیمرخ توپوگرافی مسیر شماره ۹
- ۴۱ ادامه شکل (۳-۴)، نیمرخ مسیر شماره ۱۴
- ۴۵ شکل (۳-۶)، رابطه بین مساحت پلان و مساحت واقعی در زیرحوضه های منطقه پژوهشی.
- ۴۶ شکل (۳-۷)، دندروگرام زیرحوضه ها بر حسب مساحت و رتبه آبراهه ای.
- ۴۸ شکل (۳-۸)، انواع اشکال ترکیبی دامنه ای و انحنای شیب (به نقل از روهه، ۱۹۷۵)
- ۵۰ شکل (۳-۹)، تفکیک ناهمواری های منطقه مورد پژوهش به واحدهای مستقل توپوگرافی.

شکل (۳-۱۰)، تغییرات زاویه شیب و انحنای عمودی در دامنه های رو به شمال کوههای نسار و لعل آباد به

۵۲ محل تغییر جهت منحنی ها و نقطه برخورد آنها دقت شود.

شکل (۳-۱۱)، رابطه انحراف معیار انحنای افقی و متوسط زاویه شیب.

شکل (۳-۱۲)، رابطه مقابله ای انحنای عمودی و متوسط زاویه شیب انحنای عمودی،

شکل (۳-۱۳)، انحنای پلان و متوسط زاویه شیب در دامنه های رو به شمال کوه نسار را نشان می دهد

تغییرات پارامتر انحنای پلان در ارتفاع های کمتر از ۱۶۵۰ متر تقریباً یکنواخت و ملایم است.

شکل (۳-۱۴)، انحراف معیار های انحنای پلان و متوسط زاویه شیب در دامنه های رو به شمال کوه نسار

شکل (۳-۱۵)، محدوده ارتفاعی مناطق تفکیکی بر اساس تغییرات مقادیر انحنای عمودی در دامنه های

شمالی کوه نسار

شکل (۳-۱۶)، تغییرات انحنای عمودی و متوسط زاویه شیب در دامنه های جنوبی کوه سفید، حجم و میزان

مقادیر منفی انحنای سلول های دامنه ای به نسبت بیشتر از سلول های محدب می باشد.

شکل (۳-۱۷)، رابطه بین انحنای افقی و متوسط زاویه شیب، میزان انحراف معیار در شیب های کمتر از ۸

درجه کم است. در دو طبقه ارتفاعی ۲۳۵۰ و ۲۶۵۰ افزایش ناگهانی در انحراف معیار انحنای افقی

سلول ها مشاهده می شود.

شکل (۳-۱۸)، توزیع مساحت ارتفاع در دامنه های جنوبی کوه سفید، و مناطقی که بر اساس انحنای

عمودی، روی منحنی در هفت قطعه مشخص گردید.

شکل (۳-۱۹)، مقایسه بین تغییرات انحنای پلان وزاویه شیب در دامنه های کوه سفید.

شکل (۳-۲۰)، رابطه بین انحنای عمودی و متوسط زاویه شیب، در این شکل منحنی ها گویای وجود

دو حالت شیب در دامنه هاست. ٦٢

شکل (٣-٢١)، رابطه بین انحنای افقی و متوسط زاویه شیب، مقدار انحنای افقی در مقایسه با انحنای عمودی

تقریباً دارای مقادیر منفی نزدیک به هم می باشد. ٦٢

شکل (٣-٢٢)، توزیع مساحت و زاویه شیب در واحد نسبتاً هموار، در حدود ٧٥ درصد سلول های بین

ارتفاع ١٣٥٠ تا ١٥٥٠ شیبی کمتر از ٦ درجه دارند. ٦٣

شکل (٣-٢٣)، تغیرات مثبت انحنای عمودی سلول ها و افزایش شیب و کاهش آن در سلول های با ارتفاع

١٥٥٠ متر و ١٦٥٠ قابل توجه است. ٦٤

شکل (٣-٢٤)، رابطه انحنای افقی و زاویه شیب در واحد نسبتاً هموار را نشان می دهد. حداکثر میزان انحنای

افقی سلول ها در زاویه شیب نزدیک ٢،٥ درجه و ارتفاع ١٥٥٠ متر قرار دارد. ٦٥

شکل (٤-١)، مقطع زمین شناسی دره مرک در امتداد جنوب غربی - شمال شرقی ٧٦

شکل (٤-٢)، مقطع زمین شناسی عمود بر امتداد گسل سردر در غرب سرونو ٧٨

شکل (٤-٣)، نمای سه بعدی از ناهمواری ها شرق و شمال شرق منطقه و وضعیت ساختمانی آن، خط ممتد

همراه با زائده های مثلثی امتداد گسل معکوس را نشان می دهد. خط بریده بریده گسل امتداد لغز مرک

است . ٧٨

شکل شماره (٤-٤)، به موقعیت گسل ها و نقاط زمین لرزه ای، و نیز تراکم زیاد این نقاط در اطراف دامته

های شمالی حوضه مرک اشاره دارد. ٨٢

شکل (٤-٥)، الگوی شبکه و دره های فرعی در منطقه مورد پژوهش، تغییر جهت ناگهانی در های فرعی

در بخش شمال شرقی منطقه جالب توجه است. ٨٤

شکل شماره (۶-۴)، عدم تقارن در دره مرک و تمایل محور اصلی آبراهه به سمت شمال و شمال شرقی - ۸۷

شکل شماره (۷-۴)، نهشته های سطحی در پای ناهمواری کوه سفید. ۹۱

شکل شماره (۸-۴)، نمای از دامنه های کوه سفید، مخروط واریزه های جدید به رنگ روشن و توده های

واریزه ای قدیمی در تصویر مشاهده می شود. ۹۴

شکل شماره (۹-۴)، توزیع گروه های شیب در سنگ های آهکی با کد ۱۶، واریزه های ۹۵

مشاهده شده در شکل ۷-۴ از این نوع سنگ ها منشاء گرفته است ۹۵

شکل شماره (۱۰-۴)، توزیع گروه های شیب در سنگ های آهکی با کد ۱۷، واریزه های مشاهده شده در

شکل ۷-۴ از این سنگ ها منشاء گرفته اند ۹۵

شکل (۱۱-۴)، توزیع گروه های شیب در سنگ های کنگلومرایی، مارن، آهک (فلیش) ۹۶

شکل (۱۲-۴)، توزیع گروه های مختلف شیب در سنگ های (کنگلومرایی، مارن، آهک) سازند کشکان - ۹۶

شکل (۱۳-۴)، بخشی از لایه های سیلتستونی و کنگلومرایی، شیب این لایه ها برخلاف شیب توپوگرافی

است. در تصویر کوچک تر نمای نزدیک از لایه کنگلومرایی مشاهده می شود. به دلیل استحکام ضعیف

دانه بندی حرکت مواد تشکیل دهنده آن در امتداد شیب بسهولت امکان پذیر است ۹۷

شکل (۱۴-۴)، توزیع مساحت - شیب در لیتولوژی مارنی، در گروه شیب ۱۱-۰، بیشترین درصد سطح واقع

شده است. ۹۸

شکل (۱۵-۴)، تعدادی از قطعات سنگی تشکیل دهنده کنگلومرای موجود در سازند کشکان، جنس این

قطعات از نوع آذرین است. شکل الف و ب ۱۰۵

شکل (۱۶-۴)، بخشی از سازند آواری کشکان در دامنه های رو به شمال کوه نسار ۱۰۸

شکل شماره (۱۷-۴)، واحد های سنگ شناسی حوضه مرک ۱۱۰

شکل شماره (۱۸-۴)، نوسان ضریب نغیرات زاویه شیب در واحد توپوگرافی غرب کوه سفید ۱۱۲

شکل شماره (۱۹-۴)، نوسان ضریب نغیرات زاویه شیب در دامنه های رو به شمال کوه نسار، سه تغییر عمده

در ابتدا، وسط و انتهای منحنی قابل مشاهده است. ۱۱۲

شکل شماره (۲۰-۴)، نوسان ضریب نغیرات زاویه شیب، در دامنه های رو به جنوب کوه سفید، در لیتولوژی

شماره ۱۷ نسبتاً زیاد و از این نظر بالیتولوژی شماره ۱۶ که هر دو از جنس آهک اند، قابل توجه است.

شکل شماره (۲۱-۴)، نوسان ضریب نغیرات زاویه شیب در تپه های جنوب کوه سفید ۱۱۳

شکل شماره (۲۲-۴)، نوسان ضریب نغیرات زاویه شیب در واحد دشت بطور کلی متفاوت تر است. از آنجا

که مساحت نهشته های سطحی در دشت بیشتر از سایر لیتولوژی هاست. ۱۱۴

شکل (۲۳-۴)، مقطع شماتیک لایه بندی رابطه بین واحد های آبرفتی و خاک ها ۱۱۹

شکل شماره (۲۴-۴)، نمای از چاله بسته در ارتفاعات شاهو شمال غرب شهر روانسر، ۱۲۵

شکل شماره (۲۵-۴)، موقعیت لوگ های زمین شناسی و چاههای حفاری شده. ۱۲۸

شکل شماره (۱-۵) وقوع لغزش مواد از نوع لغزش واریزه ای در حاشیه یک دره فرعی ۱۴۸

شکل شماره (۵-۲)، وقوع جریان گلی در سیلتسیون در دامنه های رو به شمال کوه نسار. ۱۴۹

شکل شماره (۵-۳)، وقوع لغزش از نوع جریان واریزه ای در اراضی جنگلی، و در مواد رسی و سیلیتی ۱۴۹

- شکل شماره (۴-۵)، وقوع زمین لغزش از نوع جریان واریزه ای و لغزش واریزه ای در مواد سست و حساس از نوع ماسه سنگ، کنگلومرا، سیلتستون. در هنگام بارندگی های شدید جریان واریزه ای و در هنگام خشکی محیط لغزش واریزه ای غلبه دارد.. ۱۵۰
- شکل شماره (۵-۵)، وقوع زمین لغزش انتقالی در مواد بسیار ناهمگون در بالادست روستای لعل آباد در جنوب شهر ماهیدشت. دو سطح گسیخته در تصویر مشاهده می شود. سطح الف، قدیمی و سطح ب، جدید است. ۱۵۱
- شکل (۶-۶)، روش های شناخت ناپایداری ها بر اساس مدل های کیفی و کمی ۱۵۰
- (ب) ادامه شکل (۶-۵)، مراحل اصلی ایجاد مدل شواهد وزنی ۱۵۶
- شکل شماره (۷-۵)، لایه های اولیه و اصلی مورد استفاده در مدل شواهد وزنی، برخی از لایه ها مجدداً برای استخراج لایه های ثانویه استفاده می شوند. ۱۵۸
- شکل شماره (۸-۵)، مدل رقومی ارتفاعی دره (حوضه) مرک. ۱۶۴
- شکل شماره (۹-۵)، در این نمودار توزیع جهت دامنه ها. ۱۷۲
- شکل شماره (۱۰-۵)، منحنی درصد تجمعی توزیع پیکسل های جهت دامنه ای. ۱۷۳
- شکل (۱۱-۵)، فضای فرضی از پراکنش یکسری زمین لغزش ۱۸۵
- شکل (۱۲-۵)، تباین وزن های مثبت و منفی نقاط ناپایداری واقع در لایه شیب ۱۹۱
- شکل (۱۳-۵)، تباین وزن های مثبت و منفی ناپایداری های واقع در لایه جهت دامنه ۱۹۲

شکل(۱۴-۵)، توزیع مقادیر تباین وزن های مثبت و منفی ناپایداری ها بر حسب فاصله از گسل ها — ۱۹۳

شکل(۱۵-۵)، توزیع مقادیر تباین وزن های مثبت و منفی ناپایداری ها بر حسب فاصله از آبراهه ها — ۱۹۴

شکل(۱۶-۵)، توزیع مقادیر تباین وزن های مثبت و منفی ناپایداری ها بر حسب انحناء شکل شیب — ۱۹۶

شکل(۱۷-۵)، توزیع مقادیر تباین وزن های مثبت و منفی ناپایداری ها بر حسب انحناء پلان شکل — ۱۹۷

شکل(۱۸-۵)، توزیع مقادیر تباین وزن های مثبت و منفی ناپایداری ها بر حسب انحناء عمودی شکل شیب،

۱۹۸ ——————

شکل(۱۹-۵)، توزیع مقادیر تباین وزن های مثبت و منفی ناپایداری ها بر حسب گروه های

۱۹۹ ——————

شکل (۲۰-۵)، رابطه معکوس ارتفاع و شیب در پهنه لغزشی لعل آباد ——————

شکل(۲۱-۵)، ضریب همبستگی بین ارتفاع و زاویه شب، در پهنه لغزشی لعل آباد ——————

شکل شماره(۲۲-۵)، رابطه انحنای عمودی و پلان سلول های مدل رستری ارتفاعی. ——————

شکل شماره (۲۳-۵)، تغییرات متوسط زاویه شیب در برخی از ارتفاعات روند کاهشی دارد ——————

شکل شماره(۲۴-۵)، تغییرات انحنای پلان و افقی در پهنه لغزشی لعل آباد، نوسان این پارامتر ها در این

منطقه تقریباً نزدیک به هم است. ——————

شکل (۲۵-۵)، مدل سه بعدی پهنه لغزشی لعل آباد و مکان تقریبی زمین لغزش ها ——————

شکل شماره (۲۶-۵)، مقایسه مقادیر توزیع فراوانی انحنای پلان ——————

شکل شماره(۲۷-۵)، مقایسه مقادیر توزیع فراوانی انحنای پلان دامنه ها در منطقه بدون زمین لغزش — ۲۱۹

شکل شماره(۲۸-۵)، نقشه منجنی های تراز بخشی از پهنه زمین لغزشی لعل آباد و بعضی از مفاهیم بکار

گرفته شده در محاسبات انحنای شیب. ۲۲۰

شکل شماره(۲۹-۵)، توزیع فراوانی شیب روی دامنه های ناپایدار شمال روستای لعل آباد ۲۲۲

شکل شماره(۳۰-۵)، توزیع فراوانی شیب روی دامنه های منطقه غیر لغزشی. ۲۲۳

شکل شماره(۳۱-۵)، توزیع فراوانی فاصله منجنی های تراز روی دامنه های منطقه لغزشی و غیر لغز- ۲۲۴

شکل شماره(۳۲-۵)، توزیع فراوانی قطعات شیب روی دامنه ای منطقه لغزشی و غیر لغزشی ۲۲۵

شکل شماره (۳۳-۵)، موقعیت گسل ها و نقاط زمین لرزه ای، ۲۲۷

شکل شماره(۳۴-۵)، فاصله زمین لرزه ها از گسل ها در دامنه های شمالی حوضه مرک. ۲۲۹

شکل شماره(۳۵-۵)، بارش متوسط ماهانه دو ایستگاه ماهیدشت، کرمانشاه و بارش ماهانه ماهیدشت.. ۲۳۱

شکل(۳۶-۵)، لایه های افقی موجود در پایین دست یکی از زمین لغزش های قدیمی. ۲۳۳

شکل(۳۷-۵)، سطوح پر شده در اثر وقوع زمین لغزش. ۲۳۴

شکل شماره(۳۸-۵)، لغزش انتقالی در منطقه لعل آباد پس از بارندگی های ماههای قبل و ۲۳۵

زمین لرزه بیست و سوم اسفند ماه ۱۳۸۳. ۲۳۵

فهرست جدول

۸۰	جدول شماره (۲-۴)، مشخصات گسل های موجود در منطقه مورد پژوهش
۹۳	جدول شماره (۴-۳) - مساحت وزنی سنگ های مختلف بر حسب طبقه شیب
۱۰۱	جدول شماره (۲-۳) - توزیع مساحت وزنی لیتولوژی بر حسب ارتفاع)
۱۰۹	جدول (۱-۵)، ویژگی های محیطی عوارض استخراج شده از مدل رقومی ارتفاعی
۱۶۱	جدول شماره (۲-۵)، لایه های موضوعی ایجاد شده با استفاده از نقشه ها و عکس ها
۱۶۳	جدول شماره (۳-۵)، انواع عوارض مکانی به گرفته شده در مدل شواهد وزنی
۱۶۵	جدول (۴-۵)، ماتریس اعداد در یک پنجره لغزان
۱۶۷	جدول شماره (۵-۵)، داده های توصیفی پارامترهای مورفو متريک.
۱۶۸	جدول (۶-۵)، یک پنجره ماتریسی حروف با زمينه اعداد
۱۹۰	جدول شماره (۵-۷)، تغيير وزن کلاس های «عامل زاويه شیب»
۱۹۱	جدول شماره (۵-۸)، تغيير وزن کلاس های «عامل جهت شیب»
۱۹۲	جدول شماره (۵-۹)، تغيير وزن کلاس های «عامل فاصله از گسل»
۱۹۳	جدول شماره (۱۰-۵)، تغيير وزن کلاس های «عامل فاصله از آبراهه»
۱۹۴	جدول شماره ۱۱-۵، تغيير وزن کلاس های «عامل فاصله از آبراهه- با شیب ۵-۰ درجه»
۱۹۵	جدول شماره ۱۲-۵، تغيير وزن کلاس های «عامل فاصله از آبراهه- با شیب ۱۰-۵ درجه»
۱۹۵	جدول شماره ۱۳-۵، تغيير وزن کلاس های «عامل انحنای شیب»